

Starkniederschlagshöhen und -spenden gemäß KOSTRA-DWD-2020

Rasterfeld 83149

(Zeile 83, Spalte 149)

Regenspende und Bemessungsniederschlagswerte in Abhängigkeit von Wiederkehrzeit T und Dauerstufe D

| Dauerstufe D | | Wiederkehrzeit T | | | | | | | | | | | | | | | | | |
|--------------|-----|------------------|------------|------|------------|------|------------|------|------------|------|------------|-------|------------|-------|------------|-------|------------|-------|------------|
| | | 1 a | | 2 a | | 3 a | | 5 a | | 10 a | | 20 a | | 30 a | | 50 a | | 100 a | |
| min | Std | mm | l / (s ha) | mm | l / (s ha) | mm | l / (s ha) | mm | l / (s ha) | mm | l / (s ha) | mm | l / (s ha) | mm | l / (s ha) | mm | l / (s ha) | mm | l / (s ha) |
| 5 | | 5,8 | 193,3 | 7,2 | 240,0 | 8,0 | 266,7 | 9,1 | 303,3 | 10,7 | 356,7 | 12,4 | 413,3 | 13,4 | 446,7 | 14,8 | 493,3 | 16,9 | 563,3 |
| 10 | | 7,6 | 126,7 | 9,3 | 155,0 | 10,4 | 173,3 | 11,8 | 196,7 | 13,9 | 231,7 | 16,0 | 266,7 | 17,4 | 290,0 | 19,2 | 320,0 | 21,9 | 365,0 |
| 15 | | 8,7 | 96,7 | 10,7 | 118,9 | 11,9 | 132,2 | 13,6 | 151,1 | 15,9 | 176,7 | 18,3 | 203,3 | 19,9 | 221,1 | 22,0 | 244,4 | 25,0 | 277,8 |
| 20 | | 9,5 | 79,2 | 11,7 | 97,5 | 13,0 | 108,3 | 14,8 | 123,3 | 17,4 | 145,0 | 20,1 | 167,5 | 21,8 | 181,7 | 24,1 | 200,8 | 27,4 | 228,3 |
| 30 | | 10,7 | 59,4 | 13,2 | 73,3 | 14,8 | 82,2 | 16,8 | 93,3 | 19,7 | 109,4 | 22,7 | 126,1 | 24,7 | 137,2 | 27,3 | 151,7 | 31,0 | 172,2 |
| 45 | | 12,1 | 44,8 | 14,9 | 55,2 | 16,6 | 61,5 | 18,9 | 70,0 | 22,2 | 82,2 | 25,6 | 94,8 | 27,8 | 103,0 | 30,7 | 113,7 | 34,9 | 129,3 |
| 60 | 1 | 13,1 | 36,4 | 16,1 | 44,7 | 18,0 | 50,0 | 20,5 | 56,9 | 24,1 | 66,9 | 27,8 | 77,2 | 30,2 | 83,9 | 33,3 | 92,5 | 37,8 | 105,0 |
| 90 | 1,5 | 14,7 | 27,2 | 18,1 | 33,5 | 20,2 | 37,4 | 23,0 | 42,6 | 27,0 | 50,0 | 31,1 | 57,6 | 33,8 | 62,6 | 37,3 | 69,1 | 42,4 | 78,5 |
| 120 | 2 | 15,9 | 22,1 | 19,6 | 27,2 | 21,9 | 30,4 | 24,9 | 34,6 | 29,2 | 40,6 | 33,7 | 46,8 | 36,6 | 50,8 | 40,4 | 56,1 | 45,9 | 63,8 |
| 180 | 3 | 17,8 | 16,5 | 21,9 | 20,3 | 24,5 | 22,7 | 27,8 | 25,7 | 32,7 | 30,3 | 37,7 | 34,9 | 40,9 | 37,9 | 45,2 | 41,9 | 51,4 | 47,6 |
| 240 | 4 | 19,2 | 13,3 | 23,7 | 16,5 | 26,5 | 18,4 | 30,1 | 20,9 | 35,3 | 24,5 | 40,8 | 28,3 | 44,3 | 30,8 | 48,9 | 34,0 | 55,6 | 38,6 |
| 360 | 6 | 21,5 | 10,0 | 26,5 | 12,3 | 29,6 | 13,7 | 33,6 | 15,6 | 39,5 | 18,3 | 45,5 | 21,1 | 49,5 | 22,9 | 54,6 | 25,3 | 62,1 | 28,8 |
| 540 | 9 | 24,0 | 7,4 | 29,5 | 9,1 | 33,0 | 10,2 | 37,5 | 11,6 | 44,1 | 13,6 | 50,8 | 15,7 | 55,2 | 17,0 | 61,0 | 18,8 | 69,3 | 21,4 |
| 720 | 12 | 25,9 | 6,0 | 31,9 | 7,4 | 35,7 | 8,3 | 40,6 | 9,4 | 47,6 | 11,0 | 54,9 | 12,7 | 59,7 | 13,8 | 65,9 | 15,3 | 74,9 | 17,3 |
| 1080 | 18 | 28,9 | 4,5 | 35,6 | 5,5 | 39,8 | 6,1 | 45,3 | 7,0 | 53,2 | 8,2 | 61,3 | 9,5 | 66,6 | 10,3 | 73,6 | 11,4 | 83,6 | 12,9 |
| 1440 | 24 | 31,3 | 3,6 | 38,5 | 4,5 | 43,0 | 5,0 | 48,9 | 5,7 | 57,5 | 6,7 | 66,2 | 7,7 | 72,0 | 8,3 | 79,5 | 9,2 | 90,3 | 10,5 |
| 2880 | 48 | 37,7 | 2,2 | 46,5 | 2,7 | 51,9 | 3,0 | 59,0 | 3,4 | 69,3 | 4,0 | 79,9 | 4,6 | 86,8 | 5,0 | 95,9 | 5,5 | 108,9 | 6,3 |
| 4320 | 72 | 42,0 | 1,6 | 51,8 | 2,0 | 57,9 | 2,2 | 65,8 | 2,5 | 77,3 | 3,0 | 89,1 | 3,4 | 96,9 | 3,7 | 107,0 | 4,1 | 121,5 | 4,7 |
| 5760 | 96 | 45,4 | 1,3 | 56,0 | 1,6 | 62,6 | 1,8 | 71,1 | 2,1 | 83,5 | 2,4 | 96,3 | 2,8 | 104,7 | 3,0 | 115,6 | 3,3 | 131,3 | 3,8 |
| 7200 | 120 | 48,3 | 1,1 | 59,5 | 1,4 | 66,4 | 1,5 | 75,6 | 1,8 | 88,7 | 2,1 | 102,3 | 2,4 | 111,2 | 2,6 | 122,8 | 2,8 | 139,5 | 3,2 |
| 8640 | 144 | 50,7 | 1,0 | 62,5 | 1,2 | 69,8 | 1,3 | 79,4 | 1,5 | 93,2 | 1,8 | 107,4 | 2,1 | 116,8 | 2,3 | 129,0 | 2,5 | 146,5 | 2,8 |
| 10080 | 168 | 52,8 | 0,9 | 65,1 | 1,1 | 72,7 | 1,2 | 82,7 | 1,4 | 97,1 | 1,6 | 112,0 | 1,9 | 121,7 | 2,0 | 134,5 | 2,2 | 152,7 | 2,5 |

Starkniederschlagshöhen und -spenden gemäß KOSTRA-DWD-2020

Rasterfeld 83149

(Zeile 83, Spalte 149)

Örtliche Unsicherheiten in Abhängigkeit von Wiederkehrzeit T und Dauerstufe D

| Dauerstufe D | | Wiederkehrzeit T | | | | | | | | |
|--------------|-----|------------------|-----|-----|-----|------|------|------|------|-------|
| | | 1 a | 2 a | 3 a | 5 a | 10 a | 20 a | 30 a | 50 a | 100 a |
| min | Std | ± % | ± % | ± % | ± % | ± % | ± % | ± % | ± % | ± % |
| 5 | | 11 | 11 | 11 | 12 | 13 | 14 | 14 | 14 | 15 |
| 10 | | 12 | 14 | 15 | 16 | 17 | 18 | 18 | 19 | 19 |
| 15 | | 13 | 15 | 16 | 17 | 19 | 19 | 20 | 21 | 21 |
| 20 | | 14 | 16 | 17 | 18 | 19 | 20 | 21 | 21 | 22 |
| 30 | | 14 | 16 | 17 | 19 | 20 | 21 | 21 | 22 | 23 |
| 45 | | 14 | 16 | 17 | 18 | 20 | 21 | 21 | 22 | 23 |
| 60 | 1 | 13 | 16 | 17 | 18 | 19 | 20 | 21 | 22 | 22 |
| 90 | 1,5 | 13 | 15 | 16 | 17 | 19 | 20 | 20 | 21 | 22 |
| 120 | 2 | 12 | 14 | 15 | 16 | 18 | 19 | 19 | 20 | 21 |
| 180 | 3 | 11 | 13 | 14 | 15 | 17 | 18 | 18 | 19 | 20 |
| 240 | 4 | 10 | 12 | 13 | 14 | 16 | 17 | 17 | 18 | 19 |
| 360 | 6 | 9 | 11 | 12 | 13 | 14 | 15 | 16 | 17 | 17 |
| 540 | 9 | 8 | 10 | 11 | 12 | 13 | 14 | 15 | 15 | 16 |
| 720 | 12 | 8 | 9 | 10 | 11 | 12 | 13 | 14 | 14 | 15 |
| 1080 | 18 | 8 | 9 | 9 | 10 | 11 | 12 | 13 | 13 | 14 |
| 1440 | 24 | 8 | 8 | 9 | 10 | 11 | 12 | 12 | 13 | 13 |
| 2880 | 48 | 10 | 9 | 9 | 9 | 10 | 10 | 11 | 11 | 12 |
| 4320 | 72 | 11 | 10 | 10 | 10 | 10 | 10 | 11 | 11 | 11 |
| 5760 | 96 | 12 | 11 | 10 | 10 | 10 | 10 | 11 | 11 | 11 |
| 7200 | 120 | 13 | 11 | 11 | 11 | 11 | 11 | 11 | 11 | 11 |
| 8640 | 144 | 13 | 12 | 11 | 11 | 11 | 11 | 11 | 11 | 11 |
| 10080 | 168 | 14 | 12 | 12 | 12 | 11 | 11 | 11 | 11 | 12 |

Parameter für abweichende T und D

Lokationsparameter ξ (Xi)

13,28890513

Skalenparameter α (Alpha)

4,29608381

Formparameter κ (Kappa)

-0,1

1. Koutsoyiannis-Parameter θ (Theta)

0,01937157

2. Koutsoyiannis-Parameter η (Eta)

0,73046848

Parameter für dauerstufenübergreifende Extremwertschätzung nach KOUTSOYIANNIS et al. 1998.

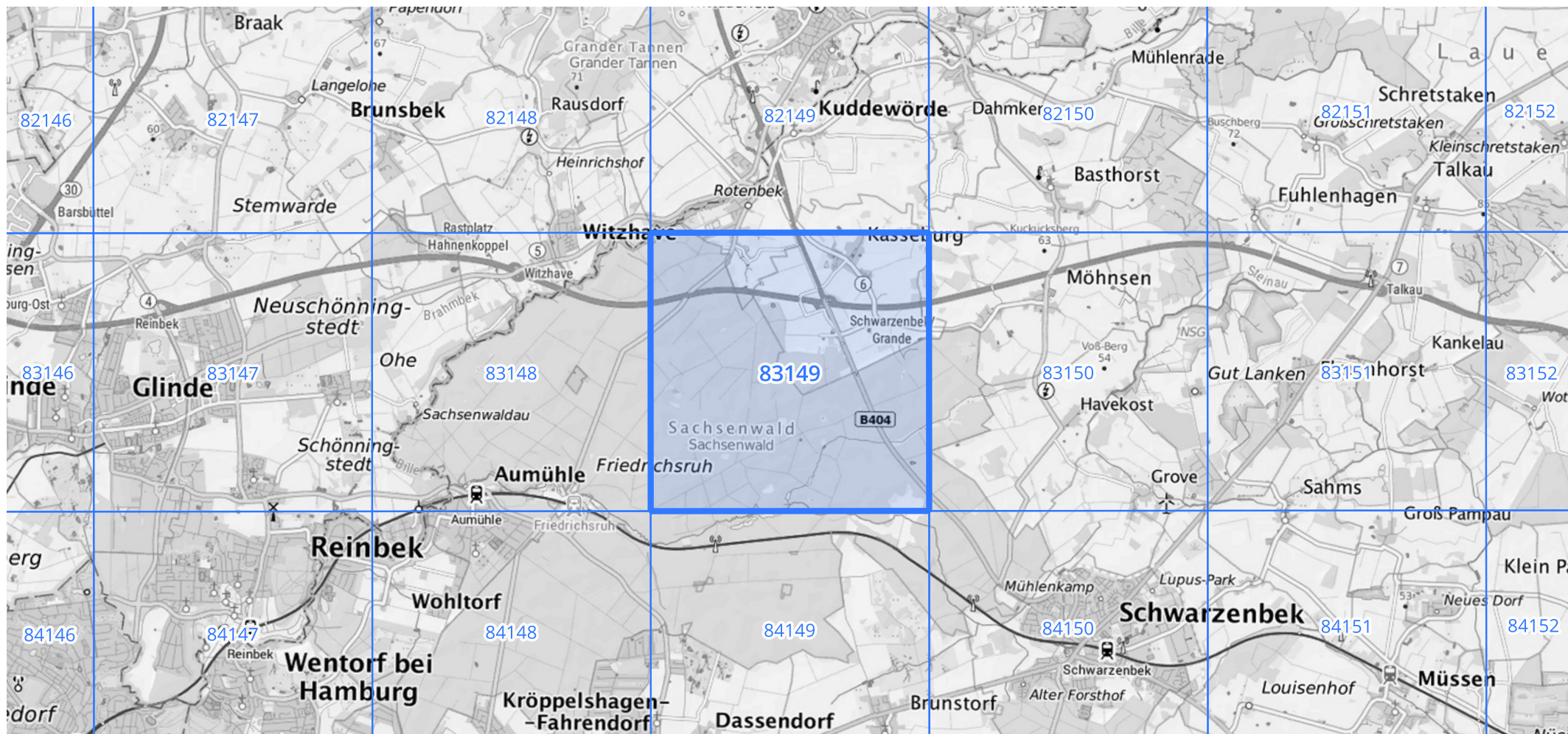
Siehe auch Anwendungshilfe zu KOSTRA-DWD-2020 des Deutschen Wetterdienstes.

Starkniederschlagshöhen und -spenden gemäß KOSTRA-DWD-2020

Rasterfeld 83149

(Zeile 83, Spalte 149)

Übersichtskarte des Rasterfeldes 83149, M 1 : 100 000



Quelle Rasterdaten: KOSTRA-DWD-2020 des Deutschen Wetterdienstes, Stand 12/2022.

Seite 3 von 3

Kartendarstellung: © Bundesamt für Kartographie und Geodäsie (2023), Datenquellen: https://sgx.geodatenzentrum.de/web_public/gdz/datenquellen/Datenquellen_TopPlusOpen.html

Für die Richtigkeit und Aktualität der Angaben wird keine Gewähr übernommen. Erstellt 01/2023.